## МОДЕЛИРОВАНИЕ КОМПЛЕКСА ФИЗИКО-ХИМИЧЕСКИХ ПРОЦЕССОВ В МНОГОСЛОЙНОМ КАБЕЛЬНОМ ИЗДЕЛИИ

Иванова Е.В.

Научный руководитель: Стрижак П.А., д.ф.-м.н., профессор Томский политехнический университет, 634050, Россия, г. Томск, пр. Ленина, 30 E-mail: zhenya1@tpu.ru

Процесс производства кабельных изделий очень сложный и многостадийный, что требует больших затрат энергии и ресурсов. Для производства кабельных изделий требуется материалов, большое количество часто дефицитных и дорогостоящих. В процессе изготовления различные элементы конструкции накладываются на «внутри лежащие» элементы при непрерывном движении изделия через узлы кабельного оборудования. Для уменьшения себестоимости изготавливаемой продукции, необходимо минимизировать затрат. В первую очередь, затраты энергии [1, 2].

Оболочка кабеля может состоять из одного и более герметизирующих и армирующих слоёв, в качестве этих слоёв могут применяться различные материалы: ткань, пластмассы, металл, резина и проч. Кабели для передачи электрических сигналов могут быть снабжены экраном из металлической сетки, листового металла (фольги) или полимерной плёнки с тонким металлическим покрытием [3].

Следовательно, при моделировании процесса вулканизации кабельных изделий необходимо учитывать как форму получаемой продукции, так и материал, и химические процессы, происходящие в нем. Следовательно, необходимо установить, влияет ли количество жил на процесс полимеризации.

Область решения рассматриваемой задачи представлена на рис. 1. Кабель состоит из нескольких слоев: 7 скрученных между собой жил и покрытых общей оболочкой. Изделие с начальной температурой  $T_0$  нагревается при существенно более высокой температуре в печи  $T_{\nu}$ . В результате внешний резиновый слой вулканизуется. Решение задачи осуществлялось в цилиндрической системе координат.

При постановке задачи принималось, что:

- кабель имеет правильную цилиндрическую форму и не ограничен по длине;
- коэффициенты теплопроводности металла (меди) и резины не зависят от температуры;
- энергия активации не изменяется в пределах рассматриваемых температур [4].

Математическая модель теплопроводности для кабельных изделий в процессе вулканизации в цилиндрической системе координат может быть сформулирована в виде системы нестационарных уравнений теплопроводности «печь — воздух — резиновая оболочка — 7 жил» (рис. 1), соответствующая сформулированной постановке задачи, имеет следующий вид.

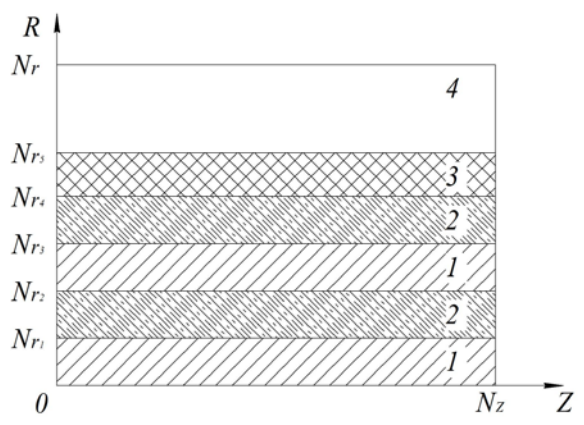


Рис. 1. Область решения задачи: 1) металлическая жила; 2) резиновая оболочка жилы; 3)оболочка кабеля; 4) окружающая среда (нагретый до высоких температур воздух)

Уравнение теплопроводности для жилы кабеля (0<r<R $_1$ ,  $R_2<$ r<R $_3$ , 0<z<Z $_1$ ):

$$\rho_{1}C_{1}\frac{\partial T_{1}}{\partial t} = \lambda_{1}\left(\frac{\partial^{2}T_{1}}{\partial r^{2}} + \frac{1}{r}\frac{\partial T_{1}}{\partial r} + \frac{\partial^{2}T_{1}}{\partial z^{2}}\right). (1)$$

Уравнение энергии для изоляционной оболочки кабеля ( $R_1 < r < R_2$ ,  $R_3 < r < R_5$ ,  $0 < z < Z_1$ ):

ооолочки каоеля (
$$K_1 < r < K_2$$
,  $K_3 < r < K_5$ ,  $0 < z < Z_1$ )
$$\rho_2 C_2 \frac{\partial T_2}{\partial t} = \lambda_2 \left( \frac{\partial^2 T_2}{\partial r^2} + \frac{1}{r} \frac{\partial T_2}{\partial r} + \frac{\partial^2 T_2}{\partial z^2} \right) + q_2 \rho_2 \frac{d\varphi_2}{dt}, (2)$$

$$\frac{d\varphi_2}{dt} = (1 - \varphi_2) k_2^0 \exp\left( -\frac{E_2}{R_1 T_2} \right). (3)$$

Уравнение Пуассона для воздуха ( $R_5 < r < R_6$ ,  $0 < z < Z_1$ ):

$$\frac{\partial^2 \Psi}{\partial r^2} - \frac{1}{r} \frac{\partial \Psi}{\partial r} + \frac{\partial^2 \Psi}{\partial z^2} = -r\omega$$
(4)

Уравнение завихренности для воздуха  $(R_5 < r < R_6, 0 < z < Z_1)$ :

$$\frac{\partial \omega}{\partial t} + u \frac{\partial \omega}{\partial r} + v \frac{\partial \omega}{\partial z} - \frac{\omega u}{r} = v_3 \left( \frac{\partial^2 \omega}{\partial r^2} + \frac{1}{r} \frac{\partial \omega}{\partial r} + \frac{\partial^2 \omega}{\partial z^2} - \frac{\omega}{r^2} \right) + g\beta \frac{\partial T_3}{\partial r}, (5)$$

Уравнение энергии для воздуха ( $R_5 < r < R_6$ ,  $0 < z < Z_1$ ):

$$\rho_{3}C_{3}\left(\frac{\partial T_{3}}{\partial t}+u\frac{\partial T_{3}}{\partial r}+v\frac{\partial T_{3}}{\partial z}\right)=\lambda_{3}\left(\frac{\partial^{2}T_{3}}{\partial r^{2}}+\frac{1}{r}\frac{\partial T_{3}}{\partial r}+\frac{\partial^{2}T_{3}}{\partial z^{2}}\right)$$
(6)

С начальными (t=0) условиями:  $T=T_0$  при 0< r< R5, 0< z< Z1; (7)  $T=T_v$ ,  $\psi=\omega=0$  при R5< r< R6, 0< z< Z1; (8)  $\phi=0.99$  при R1< r< R2, R3< r< R4, 0< z< Z1. (9)  $\phi=\phi_0$  при R4< r< R5, 0< z< Z1. (10)

Граничные условия при  $0 < t < t_p$ :

$$\begin{split} &\frac{\partial T}{\partial z} = 0 \\ &\frac{\partial \Psi}{\partial z} = \frac{u}{r}, \frac{\partial \Psi}{\partial r} = -\frac{v}{r} \text{ при z=0, z=L, R5$$

$$T = T_P$$
,  $\frac{\partial \omega}{\partial r} = 0$ ,  $\frac{\partial^2 \psi}{\partial r^2} = 0$ ,  $\omega = 1$ ,  $\psi = 0$  при r=R5, 0

$$\frac{\partial \psi}{\partial r} = 0$$
,  $\psi = 0$ ,  $T = T_v$  πρω r=R6, 0

Численное моделирование выполнено при следующих значениях параметров [5. 6]:  $\rho_1{=}8700$  кг/м³;  $\lambda_1{=}400$  Вт/(м·К);  $C_1{=}385$  Дж/(кг·К);  $\rho_2{=}1200$  кг/м³;  $\lambda_2{=}0,16$  Вт/(м·К);  $C_2{=}1380$  Дж/(кг·К);  $\rho_3{=}1,161$  кг/м³;  $\lambda_3{=}0,026$  Вт/(м·К);  $C_3{=}1190$  Дж/(кг·К);  $\nu_3{=}1\cdot10^5$  м²/с;  $T_0{=}303$  K;  $T_v{=}450$  K;  $\phi_0{=}0;$   $k_0{=}5\cdot10^5$  с¹;  $E{=}5\cdot10^4$  Дж/моль;  $q{=}1\cdot10^3$  Дж;  $\phi_0{=}0,4$ ;  $R1{=}0,002$  м;  $R2{=}0,004$  м;  $R3{=}0,006$ ;  $R4{=}0,008$ ;  $R5{=}0,01$  м;  $Z1{=}0,1$  м.

Температурное поле, вектор скорости и функция тока, полученные при решении поставленной задачи, представлены на рис. 2-5.

резиновой Полимеризация оболочки многослойного кабельного изделия продолжается однослойного. 1,5 раза дольше, чем Следовательно, уменьшать время вулканизации нецелесообразно без прогнозирования минимального времени полимеризации. Также рассматривать все изоляционные слои кабельного изделия как один неверно из-за достаточно большой разницы во времени полимеризации.

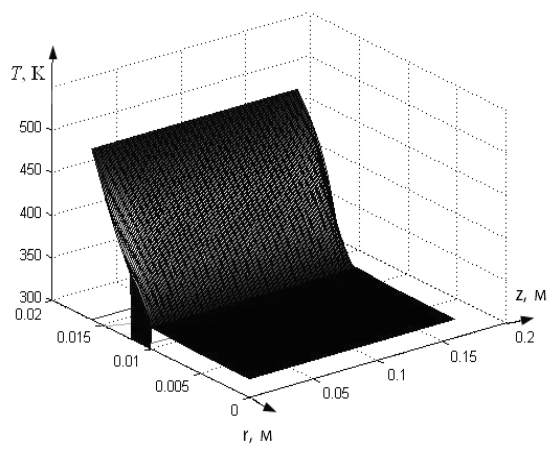


Рис. 2. Температурное поле для многослойного кабеля

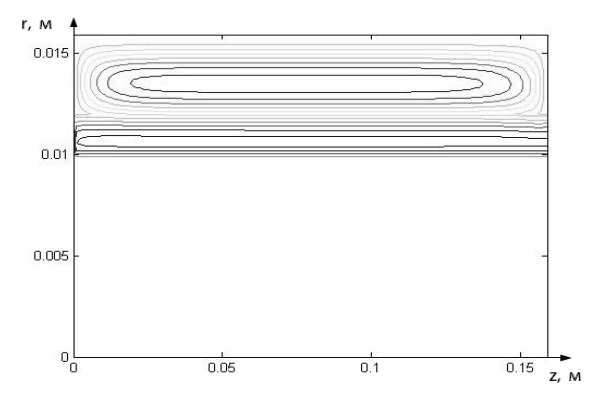


Рис. 3. Распределение функции тока воздуха в вулканизационной камере

Список литературы:

- 1. Кошелев Ф.Ф., Корнев А.Е., Климов Н.С. Общая технология резины. М.: Химия. 1968. 560 с.
- 2. Лукомская А.И., Баденков П.Ф., Кеперша Л.М. Тепловые основы вулканизации резиновых изделий. М.: Химия. 1972. 359 с.
- 3. Леонов В.М., Пешков И.Б., Рязанов И.Б., Холодный С.Д. Основы кабельной техники М.: Издат. центр «Академия», 2006. 432 с.
- 4. Иванова Е.В., Кузнецов Г.В. Об одном подходе к выбору технологических параметров процесса вулканизации при изготовлении кабелей // Современная техника и технологии: Матер. XV Междунар. научно-практ. конф. студентов, аспирантов и молодых ученых Томск, 2009. -Т. 4. С. 274-275.
- 5. Варгафтик Н.Б. Справочник по теплофизическим свойствам газов и жидкостей. М.: ООО «Старс», 2006. 720 с.
- 6. Тепломассообмен: справочник / Под ред. А.В. Лыкова. М.: Энергия, 1978. 479 с.